



Solar - WSA-ENLIL

EMC (<https://ccmc.gsfc.nasa.gov/donki/>):

WSA-ENLIL(CME 2024-07-23 04:24:00 UT)

Os resultados das simulações indicam que o flanco da EMC alcançará a missão DSCOVR entre 2024-07-26 13:00:00 UT e 2024-07-27 03:00:00 UT.

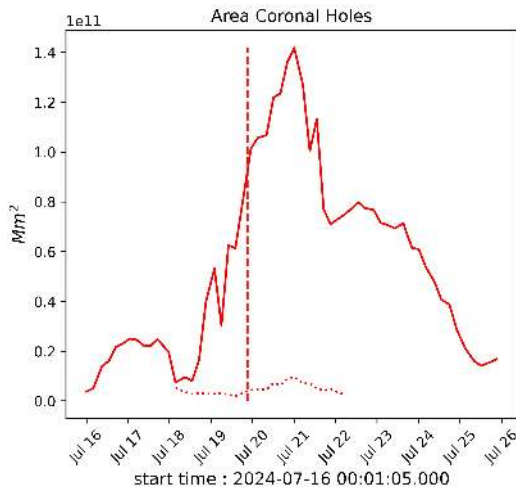
WSA-ENLIL(CME 2024-07-26 15:23:00 UT)

Os resultados das simulações indicam que o flanco da EMC alcançará a missão DSCOVR entre 2024-07-30 07:00:00 UT e 2024-07-30 21:00:00 UT.

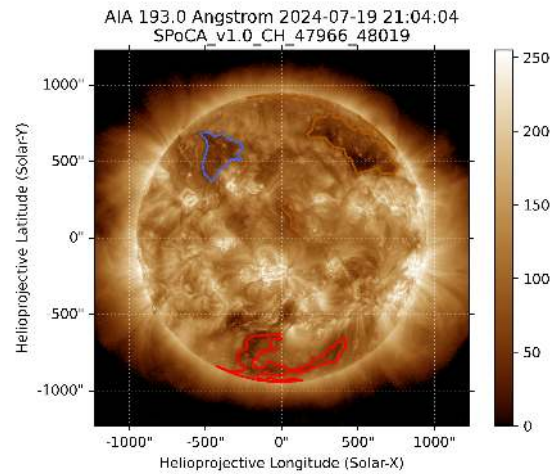
WSA-ENLIL(CME 2024-07-27 11:12:00 UT)

Os resultados das simulações indicam que o flanco da EMC alcançará a missão DSCOVR entre 2024-07-30 21:00:00 UT e 2024-07-31 11:00:00 UT.

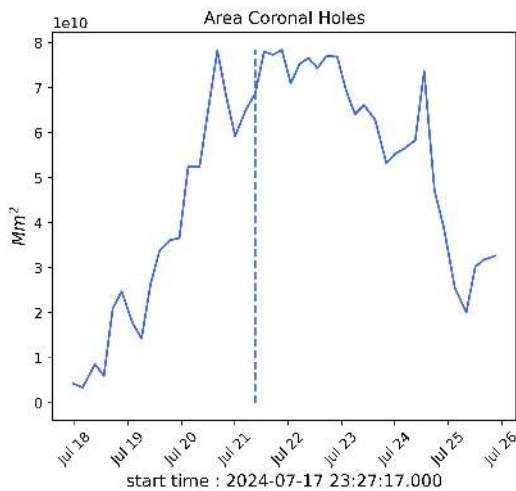
Solar - Coronal holes Spatial Possibilistic Clustering Algorithm (SPoCAS):



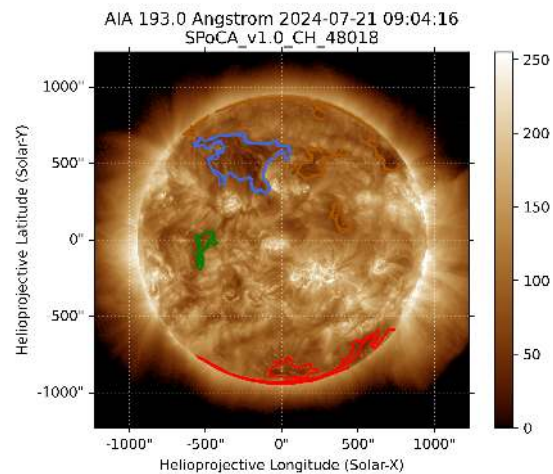
(a) A linha preta mostra o resultado da soma das áreas para cada intervalo da detecção realizado pelo SPOCA entre os dias 16 e 25 de julho de 2024.



(b) Sobre a imagem em 193 Å do Sol estão destacados os Buracos coronais observados pelo SPOCA por volta das 21:04 UT do dia 19 de julho de 2024 (linha vermelha pontilhada do gráfico à esquerda)

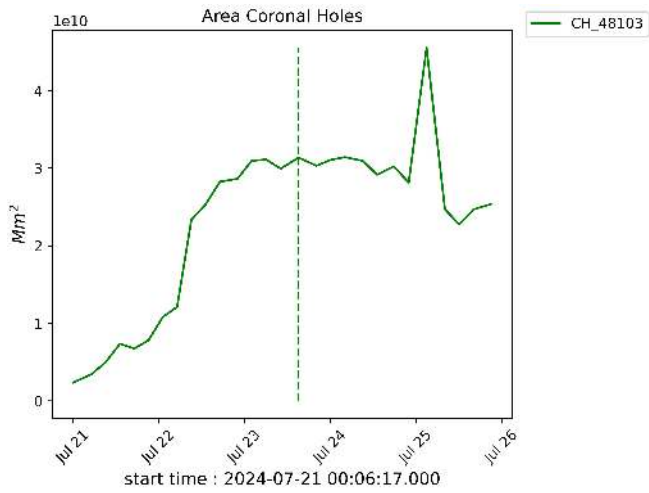


(a) A linha preta mostra o resultado da soma das áreas para cada intervalo da detecção realizado pelo SPOCA entre os dias 16 e 25 de julho de 2024.

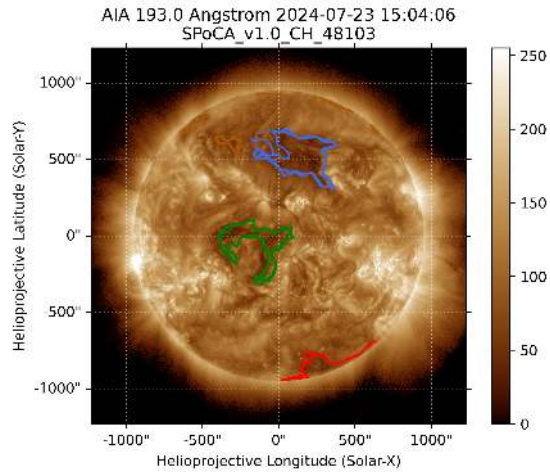


(b) Sobre a imagem em 193 Å do Sol estão destacados os Buracos coronais observados pelo SPOCA por volta das 09:04 UT do dia 21 de julho de 2024 (linha azul pontilhada do gráfico à esquerda)

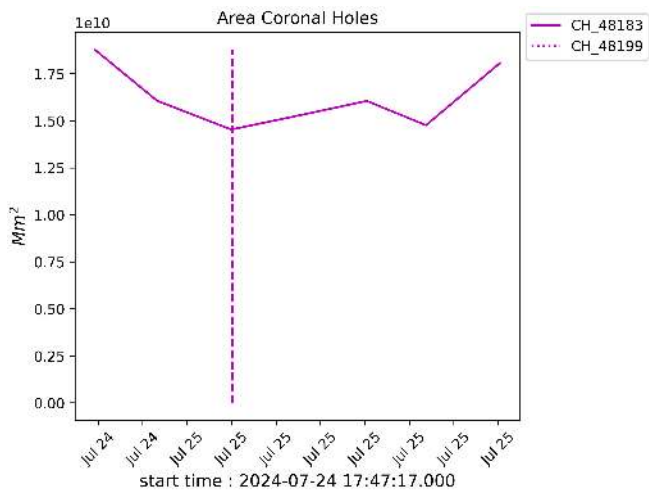
Solar - Coronal holes Spatial Possibilistic Clustering Algorithm (SPoCAS):



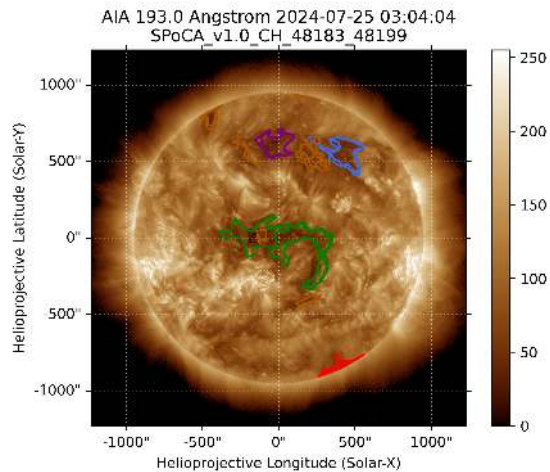
(a) A linha preta mostra o resultado da soma das áreas para cada intervalo da detecção realizado pelo SPOCA entre os dias 16 e 25 de julho de 2024.



(b) Sobre a imagem em 193 Å do Sol estão destacados os Buracos coronais observados pelo SPOCA por volta das 15:04 UT do dia 23 de julho de 2024 (linha verde pontilhada do gráfico à esquerda)



(a) A linha preta mostra o resultado da soma das áreas para cada intervalo da detecção realizado pelo SPOCA entre os dias 16 e 25 de julho de 2024.



(b) Sobre a imagem em 193 Å do Sol estão destacados os Buracos coronais observados pelo SPOCA por volta das 03:04 UT do dia 25 de julho de 2024 (linha roxa pontilhada do gráfico à esquerda)

CINTURÃO DE RADIAÇÃO DA TERRA

Responsável: Ligia Da Silva

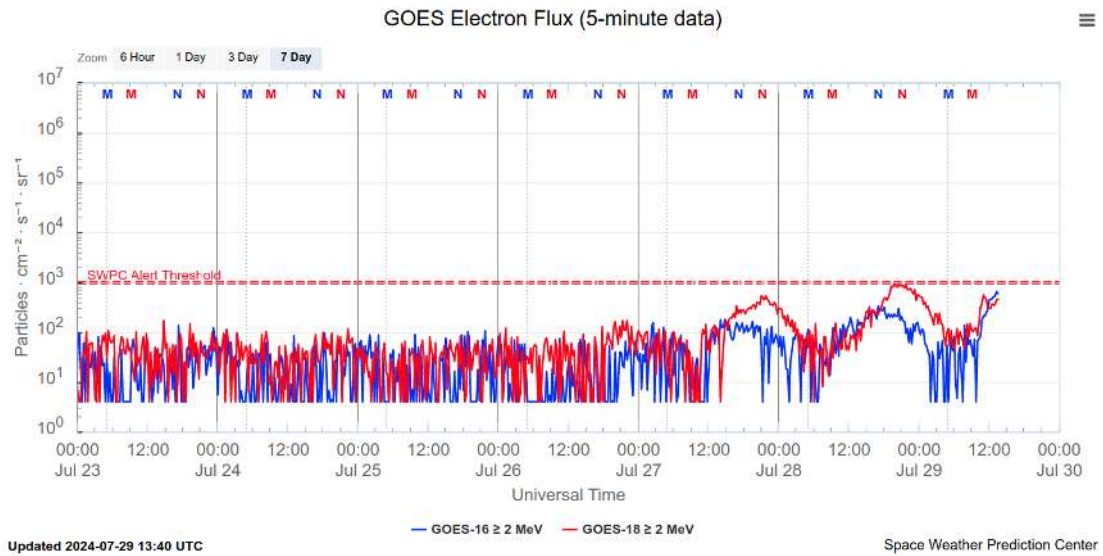


Figura 1: Fluxo de elétrons de alta energia ($\geq 2\text{MeV}$) obtido a partir dos satélites GOES-16 e GOES-18. Fonte: <https://www.swpc.noaa.gov/products/goes-electron-flux>

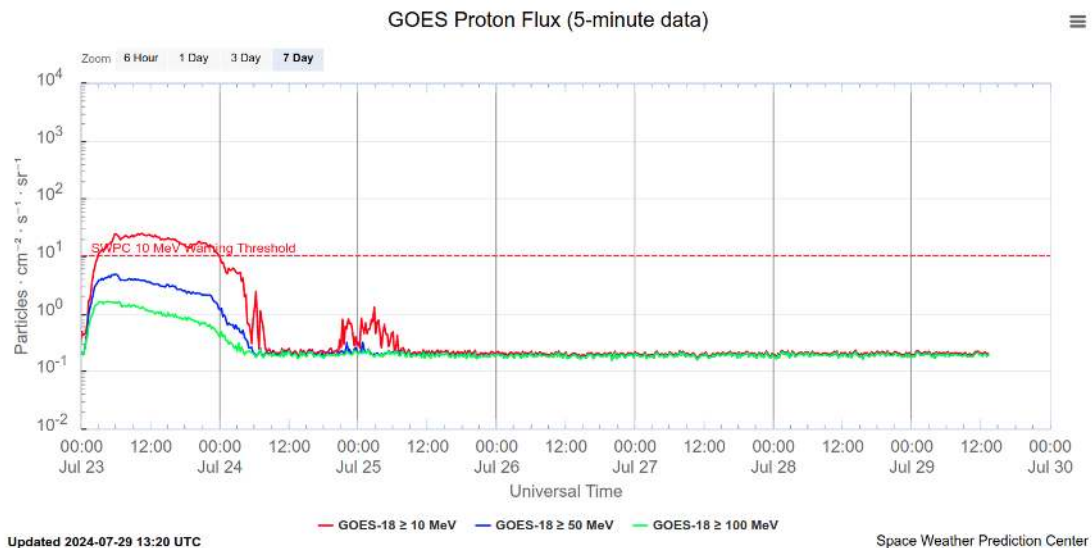


Figura 2: Fluxo de prótons ($\geq 10\text{MeV}$, $\geq 50\text{MeV}$, $\geq 100\text{MeV}$) obtido a partir dos satélites GOES-18. Fonte: <https://www.swpc.noaa.gov/products/goes-proton-flux>



Resumo

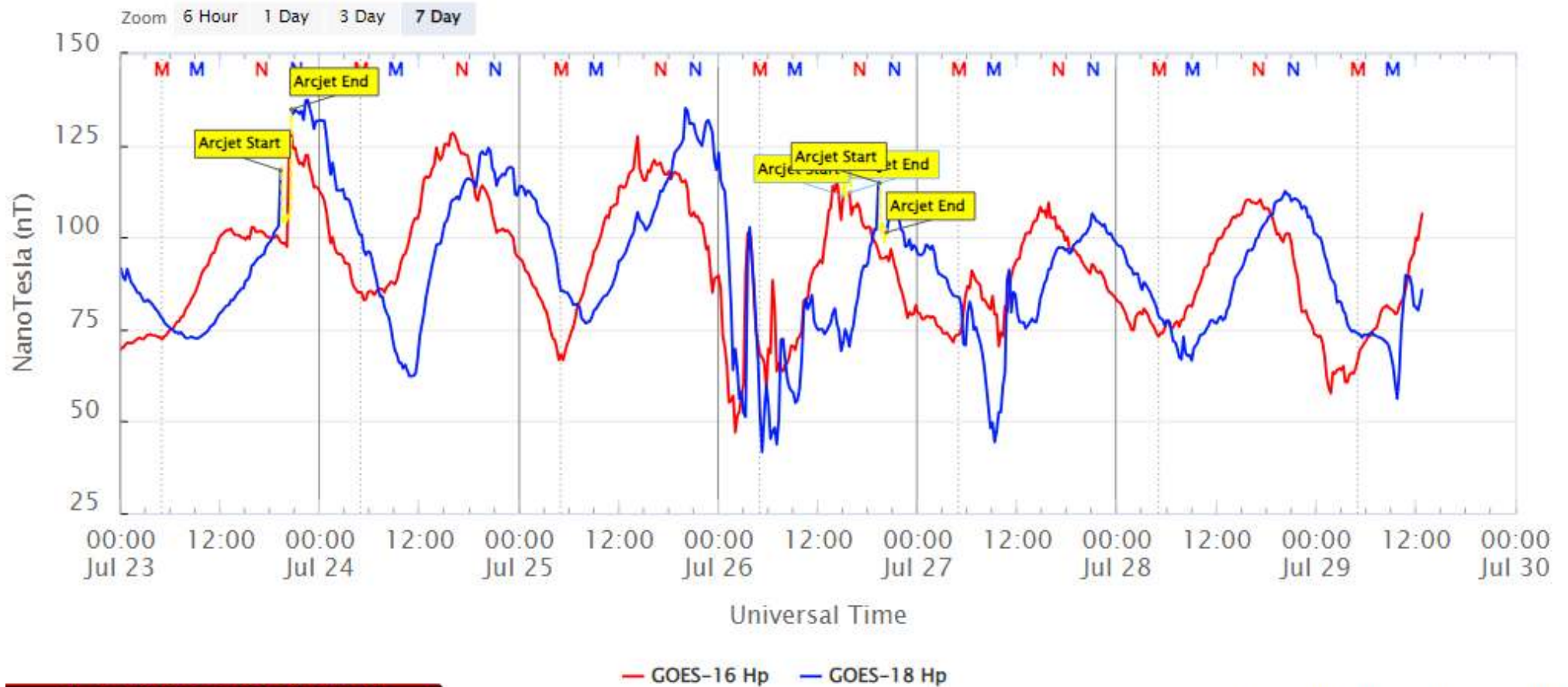
O fluxo de Elétrons de alta energia (≥ 2 MeV) na borda do cinturão de radiação externo obtido a partir do satélite geoestacionário GOES-16 e GOES-18 (Figura 1) está confinado abaixo de 10^2 partículas/(cm^2 s sr) quase todo o período analisado, apresentando um aumento a partir das 12:00 UT do dia 27/julho, que atinge 10^3 partículas/(cm^2 s sr) no dia 28/julho.

Os fluxos de prótons $\geq 10\text{MeV}$, $\geq 50\text{MeV}$ e $\geq 100\text{MeV}$ na borda do cinturão de radiação externo obtido a partir do satélite geoestacionário GOES-18 (Figura 2) aumentaram a no início do dia 23/julho. Contudo, o fluxo de prótons $\geq 10\text{MeV}$ atingiu valores acima do limiar de 10^1 partículas/(cm^2 s sr), seguido por um decaimento rápido no início do dia 24/julho, juntamente com os outros níveis de energia. Este aumento de fluxo de prótons está associado à chegada de estruturas do vento solar na magnetosfera.

BOLETIM DE GEOMAGNETISMO 29/07

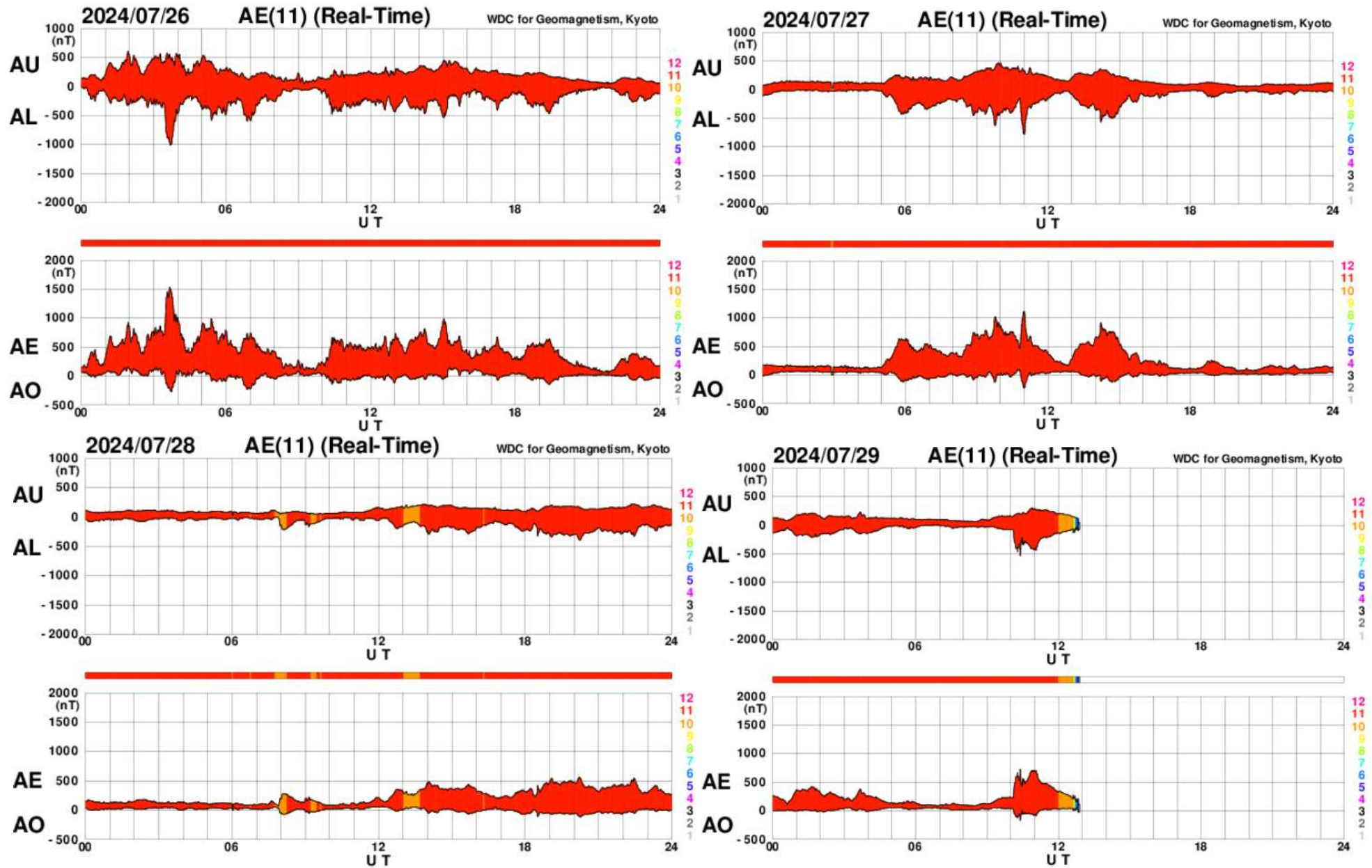
Dia	AE máximo	Kp máximo	Dst variação
26/07	<1500 nT	5o	[-51 nT,12 nT]
27/07	<1000 nT	4-	[-30 nT, -9 nT]
28/07	<500 nT	3-	[-20 nT, 1 nT]
29/07	<1000 nT	2o	[-15 nT, -2 nT] até 13 UT

- Componente Norte do campo magnético, medido nos satélites estacionários GOES (dados por minuto).

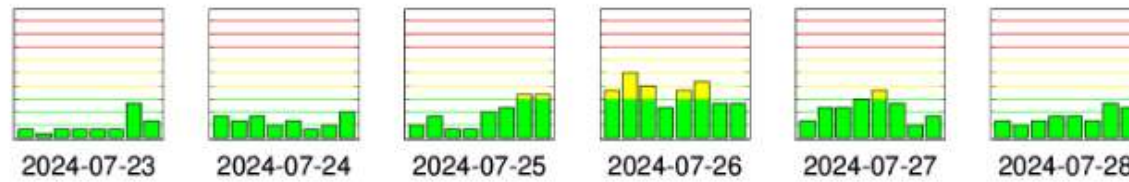
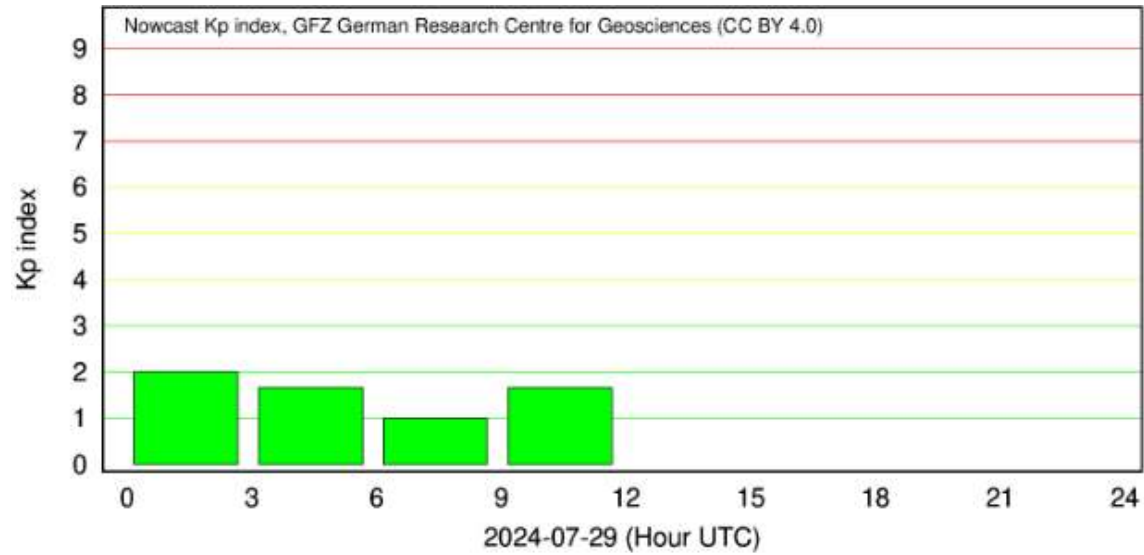


Updated 2024-07-29 12:56 UTC

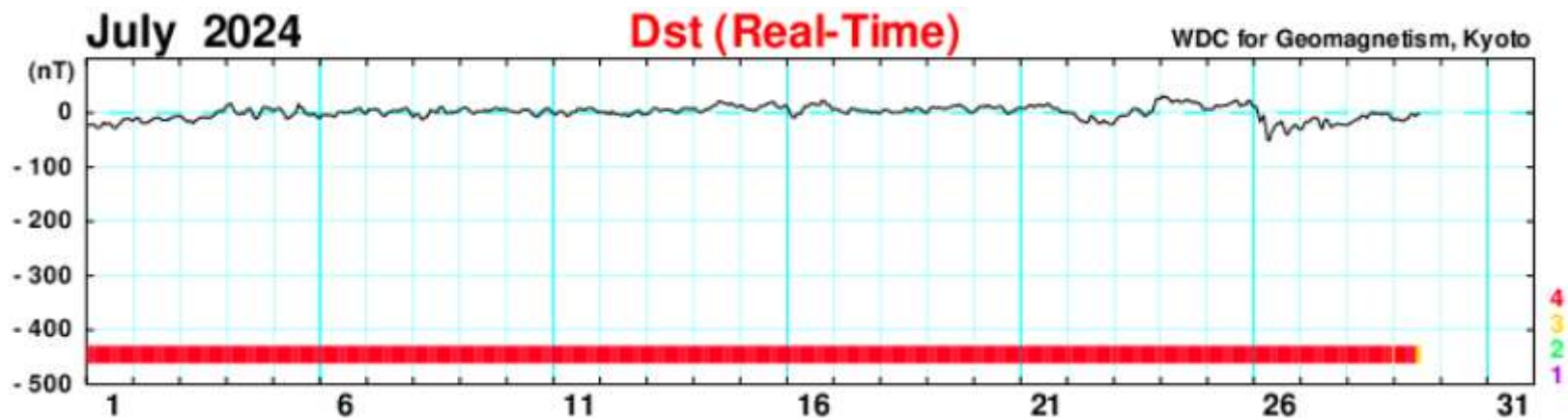
- Atividade auroral



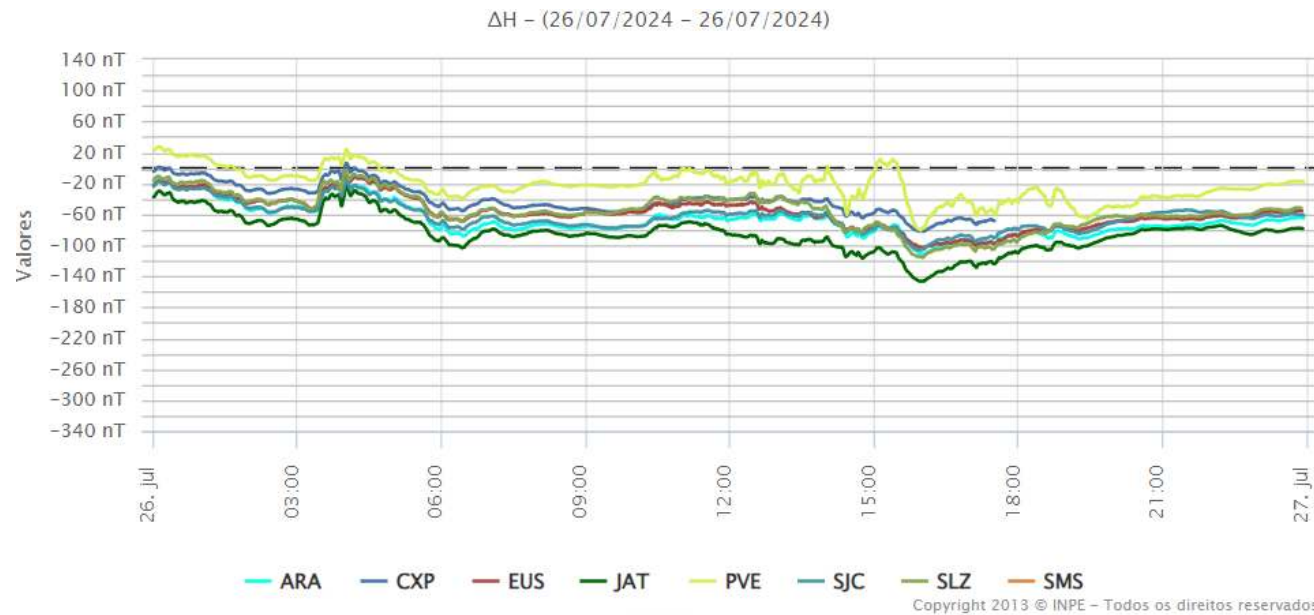
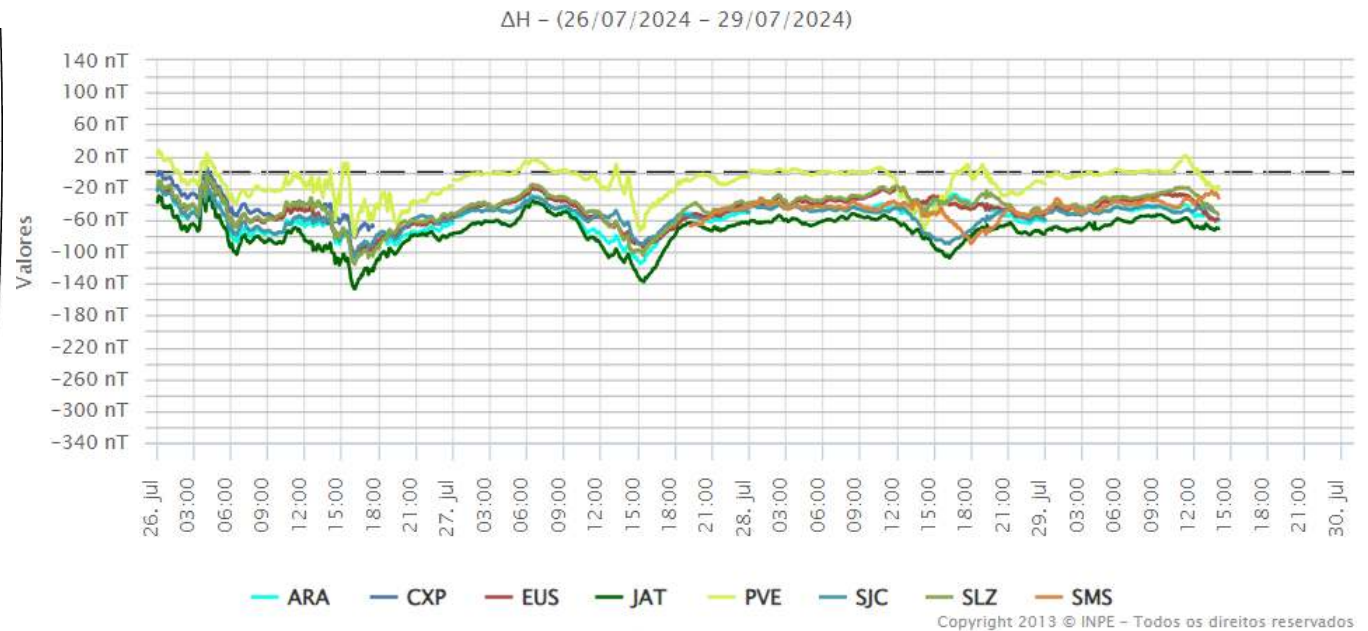
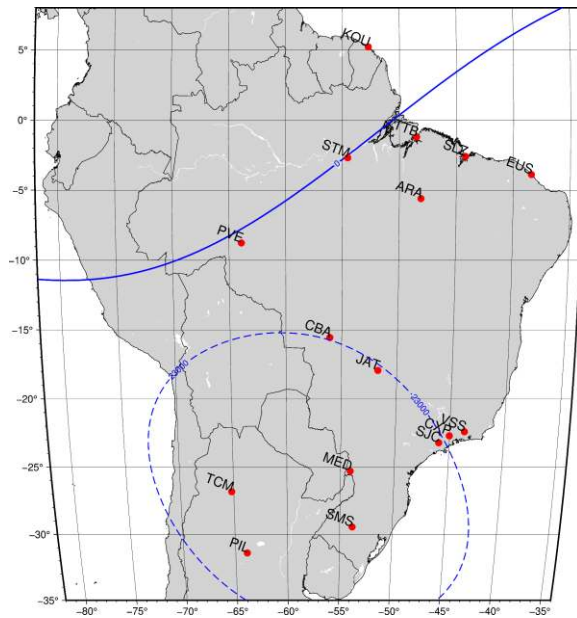
- Atividade magnética Índice global Kp



- Índice Dst



- Medidas de campo magnético magnetômetros-EMBRACE



Ionosfera – Digisonda (Laysa Resende)

Resumo

Nesta semana foi observado um espalhamento (spread F) em Boa Vista, uma região perto do equador geográfico (Figura 1). Sobre Cachoeira Paulista, o traço da região F foi típico. As camadas Es nessa região foram fracas, alcançando no máximo a escala 2.

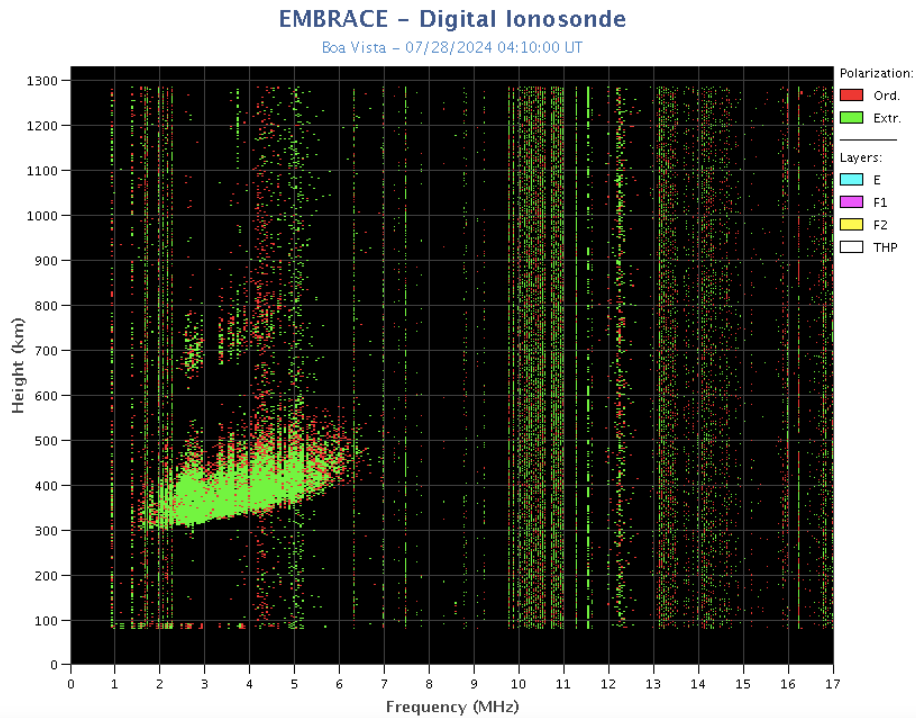


Figure 1 – Ionograma de Boa Vista, mostrando o espalhamento na região F.

Ionosfera - ROTI

Resumo da semana 2324 (21 a 27 de julho de 2024)

Carolina de Sousa do Carmo

Na semana 2324 (21 a 27 de julho de 2024) não ocorreram irregularidades ionosféricas (bolhas de plasma). A Figura abaixo mostra a série temporal do ROTI, para três estações no setor brasileiro (Boa Vista (BOAV), Bacabal (MABB), e Cuiabá (CUIB)).

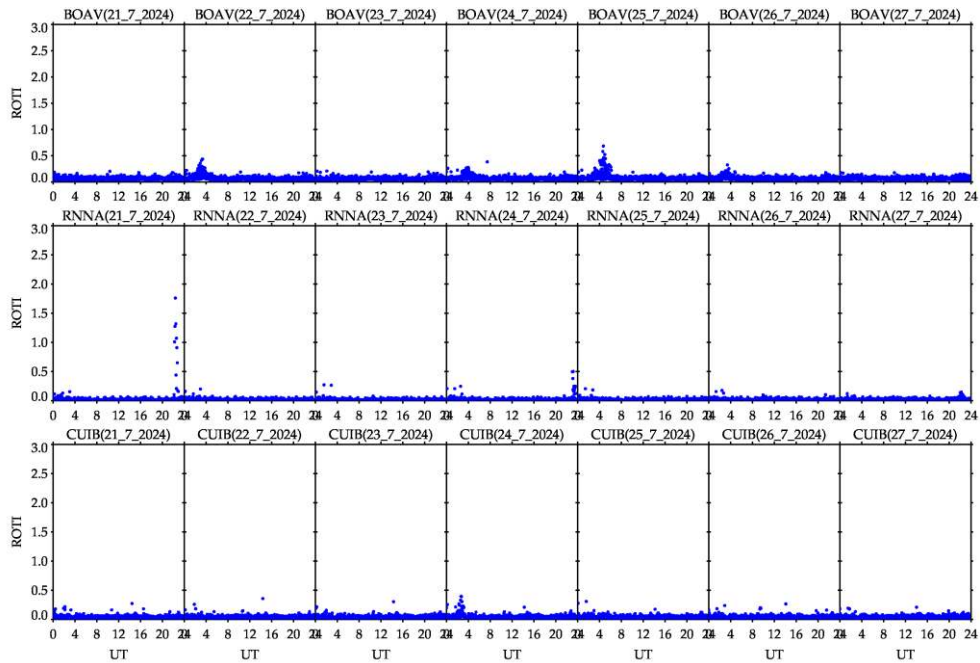


Figura – Série temporal de ROTI, para três estações no setor brasileiro (Boa Vista (BOAV), Bacabal (MABB), e Cuiabá (CUIB)), 21 a 27 de julho de 2024.